

PREMIER PROBLEME :

Exemple d'utilisation des semi-conducteurs :

la MLI (d'après banque PT 2016)

1) Modulation de largeur d'impulsion : réalisation analogique :

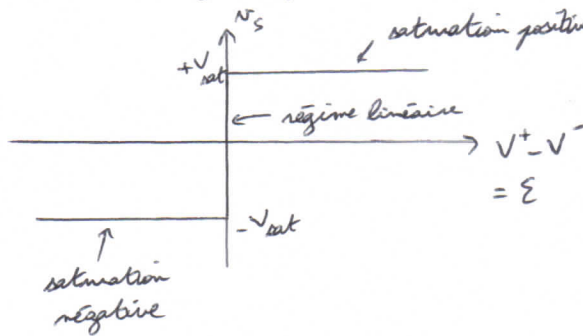
Q1) * $i^+ = i^- = 0$ (résistance d'entrée infinie)

* résistance de sortie nulle

* saturation de la tension de sortie : $|v_s| \leq V_{sat}$

* saturation de l'intensité de sortie : $|i_s| \leq i_{smax}$

* Si l'ALI est de gain infini :



Q2) Il n'y a pas de boucle de rétroaction entre la sortie de l'ALI et l'entrée inverseuse, donc l'ALI fonctionne en régime saturé.

C'est un comparateur simple :

→ Si $u_e(t) > u_{ref}(t)$, alors $u_{mod}(t) = +V_{sat}$

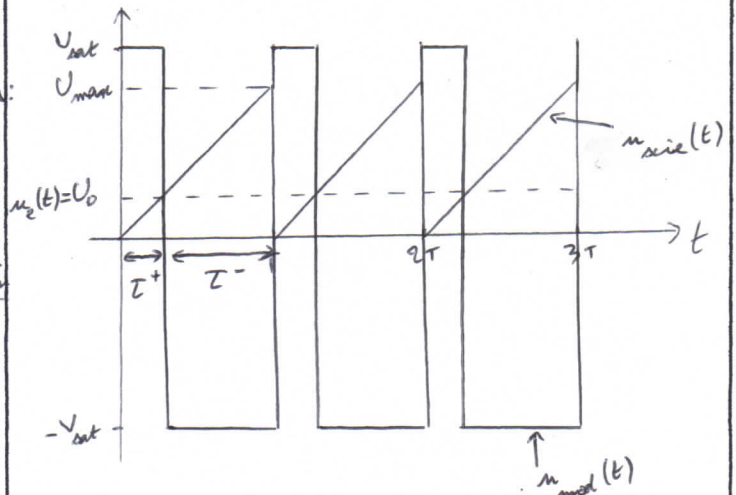
→ Si $u_e(t) < u_{ref}(t)$, alors $u_{mod}(t) = -V_{sat}$

Q3) pente :
$$a = \frac{U_{max}}{T}$$

Q4) * De $t=0$ à $t=T^+$, $U_0 > u_{ref}$, $u_{mod} = +V_{sat}$

$$a = \frac{U_{max}}{T} = \frac{U_0}{T^+} \Rightarrow T^+ = \frac{U_0}{U_{max}} T$$

$$* T^- = T - T^+ = T \left(1 - \frac{U_0}{U_{max}} \right) = T^-$$

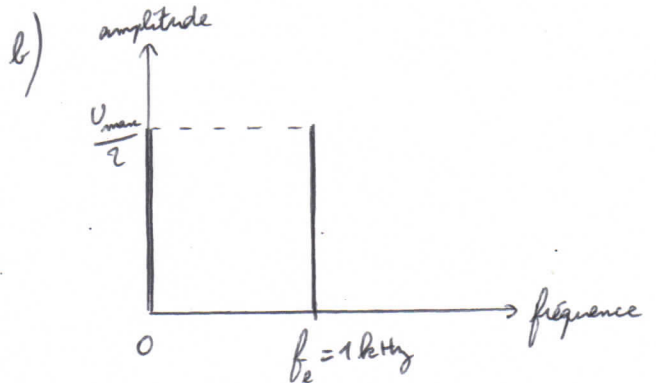


Q5) Si $U_0 > U_{max}$, alors $u_e(t) > u_{ref}(t) \forall t$

$$\Rightarrow u_{mod}(t) = +V_{sat} \quad \forall t$$

Q6) a)
$$u_e(t) = \frac{U_{max}}{2} + \frac{U_{max}}{2} \cos(2\pi f_2 t)$$

Labels: $\frac{U_{max}}{2}$ (valeur moyenne), $\frac{U_{max}}{2}$ (amplitude), $at=0, u_e = U_{max}$



c) cf annexe

d) On veut récupérer le spectre de la question b).

Il faut donc garder uniquement la composante continue et la fréquence 1 kHz. Il faut donc utiliser un filtre passe-bas qui permettra de faire disparaître toutes les autres fréquences (qui sont toutes supérieures à 1 kHz). Donc un filtre passe-bas de fréquence de coupure ≈ 2 kHz.

2) Réalisation d'un signal "dent de scie":

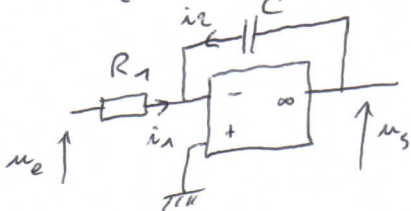
Q7)

$$R_e \approx 1 \text{ à } 10 \text{ M}\Omega$$

$$R_s = 1 \text{ à } 10 \Omega$$

Q8) L'impédance de sortie de chaque étage est négligeable par rapport à l'impédance d'entrée de l'étage suivant: cela permet de déduire que la présence de l'autre étage en aval ne perturbe pas le fonctionnement de chaque étage. Le fonctionnement de chaque bloc sera donc le même à vide.

Q9) a) Si $u_e(t) > 0$: on branche en cascade.



- * ALI idéal $\Rightarrow i^- = 0$
- * \exists boucle de rétroaction entre la sortie et l'entrée \Rightarrow régime linéaire
- On ALI de gain $\infty \Rightarrow V^+ = V^-$
- ou $V^+ = 0 \Rightarrow V^- = 0$

* loi des nœuds: $i_1 + i_2 + i_f = 0$

$$\frac{u_e - V^+}{R_1} + C \frac{d(u_s - V^+)}{dt} = 0$$

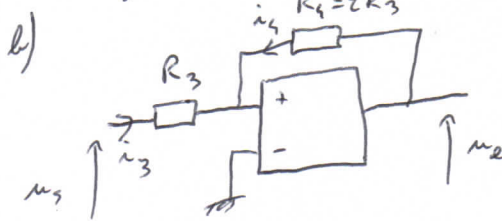
$$\Rightarrow \frac{du_s}{dt} = -\frac{1}{R_1 C} u_e \quad \text{si } u_e(t) > 0$$

$$u_s = -\frac{1}{R_1 C} \int u_e dt : \text{"intégrateur"}$$

b) Si $u_e(t) < 0$, on remplace R_1 par R_2 :

$$\frac{du_s}{dt} = -\frac{1}{R_2 C} u_e \quad \text{si } u_e(t) < 0$$

Q10) a) Il n'y a pas de boucle de rétroaction entre la sortie de l'ALI et l'entrée inverseuse, donc l'ALI fonctionne en régime de saturation.



- * ALI idéal $\Rightarrow i^+ = 0$
- * loi des nœuds: $i_3 + i_4 + i^+ = 0$

$$\frac{u_s - V^+}{R_3} + \frac{u_e - V^+}{R_4} = 0$$

$$\Rightarrow V^+ = \frac{R_3 u_e + R_4 u_s}{R_3 + R_4} \quad \text{or } R_4 = 2R_3$$

$$\Rightarrow V^+ = \frac{u_e + 2u_s}{3}$$

hypothèse: $u_e = +V_{sat} \Rightarrow V^+ > V^- = 0$

$$\Rightarrow \frac{V_{sat} + 2u_s}{3} > 0$$

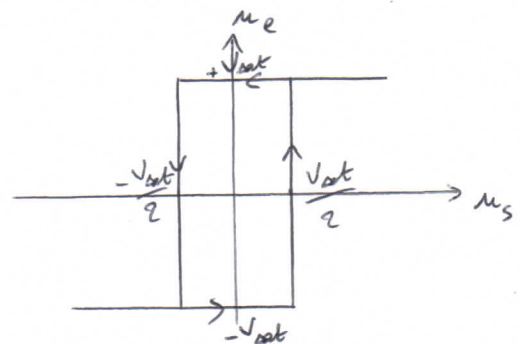
$$\Rightarrow u_s > -\frac{V_{sat}}{2}$$

c) $u_e = -V_{sat} \Rightarrow V^+ < V^- = 0$

$$V^+ = \frac{u_e + 2u_s}{3} = \frac{-V_{sat} + 2u_s}{3} < 0$$

$$\Rightarrow u_s < \frac{V_{sat}}{2}$$

d)



"montage comparateur à hystérésis non inversé"

Q11) a) A $t=0^-$, on était en saturation basse.

A $t=0$, on bascule en saturation haute.

D'après 10)c):
$$u_s(t=0) = \frac{V_{sat}}{2}$$

D'après 3)a):
$$\frac{du_s}{dt} = -\frac{1}{R_1 C} u_s = -\frac{1}{R_1 C} V_{sat}$$

$$\Rightarrow u_s(t) = -\frac{V_{sat}}{R_1 C} t + c^k$$

or $u_s(t=0) = \frac{V_{sat}}{2}$

$$\Rightarrow u_s(t) = -\frac{V_{sat}}{R_1 C} t + \frac{V_{sat}}{2}$$

b) cf 10)b): Tant que $u_s > -\frac{V_{sat}}{2}$, on reste en saturation haute.

$$u_s(t_1) = -\frac{V_{sat}}{2} = -\frac{V_{sat}}{R_1 C} t_1 + \frac{V_{sat}}{2}$$

$$\Rightarrow t_1 = R_1 C$$

$$\Delta t_{haut} = t_1 - 0 \Rightarrow \Delta t_{haut} = R_1 C$$

Q12) a)* $u_s(t=t_1) = -\frac{V_{sat}}{2}$

* D'après 3)b):
$$\frac{du_s}{dt} = -\frac{1}{R_2 C} u_s = +\frac{1}{R_2 C} V_{sat}$$

$$\Rightarrow u_s(t) = \frac{V_{sat}}{R_2 C} t + c^k$$

or $u_s(t=t_1) = -\frac{V_{sat}}{2}$

$$\begin{aligned} \Rightarrow u_s(t) &= \frac{V_{sat}}{R_2 C} (t-t_1) - \frac{V_{sat}}{2} \\ &= \frac{V_{sat}}{R_2 C} t - V_{sat} \left(\frac{1}{2} + \frac{R_1}{R_2} \right) \end{aligned}$$

b) cf 10)c): Tant que $u_s < \frac{V_{sat}}{2}$, on reste en saturation basse.

$$u_s(t_2) = \frac{V_{sat}}{2} = \frac{V_{sat}}{R_2 C} (t_2 - t_1) - \frac{V_{sat}}{2}$$

$$\Rightarrow t_2 = t_1 + R_2 C = (R_1 + R_2) C$$

$$\Delta t_{bas} = t_2 - t_1 = R_2 C$$

$$T = t_2 = (R_1 + R_2) C$$

Q13) cf annexe

Q14) *
$$\frac{\Delta t_{bas}}{\Delta t_{haut}} = \frac{R_2 C}{R_1 C} = \frac{R_2}{R_1} = 19$$

*
$$f = \frac{1}{T} = \frac{1}{(R_1 + R_2) C} \uparrow = \frac{1}{20 R_1 C}$$

 $R_2 = 19 R_1$

$$\begin{aligned} \Rightarrow R_1 &= \frac{1}{20 f C} \\ R_2 &= \frac{19}{20 f C} \end{aligned}$$

$$R_1 = \frac{1}{20 \times 1 \cdot 10^6 \times 10 \cdot 10^{-12}} = 5 \cdot 10^3 \Omega$$

$$\begin{aligned} R_1 &= 5 \text{ k}\Omega \\ R_2 &= 95 \text{ k}\Omega \end{aligned}$$

Modulation de largeur d'impulsion – Question Q6.c.

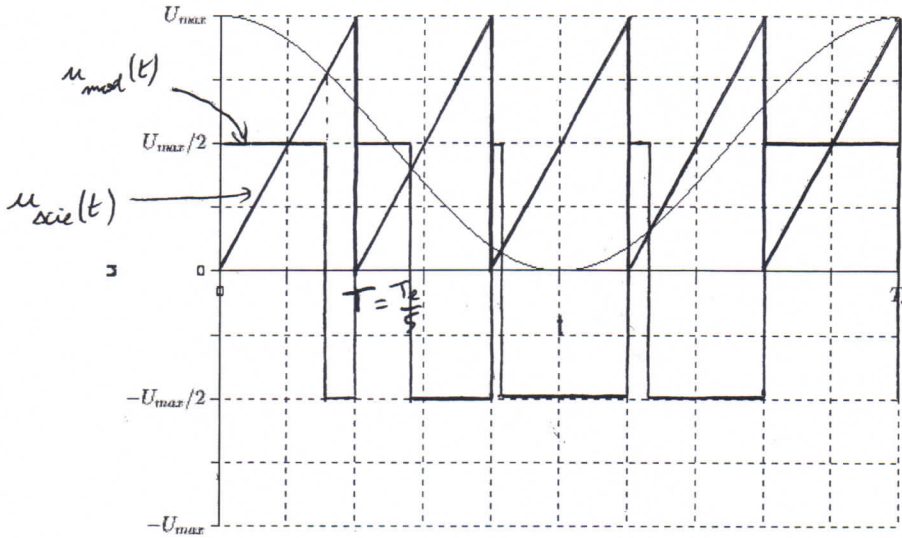


Figure 1 : Chronogramme du signal $u_e(t)$ sur une période.

Création d'un signal dent de scie – Question Q13.

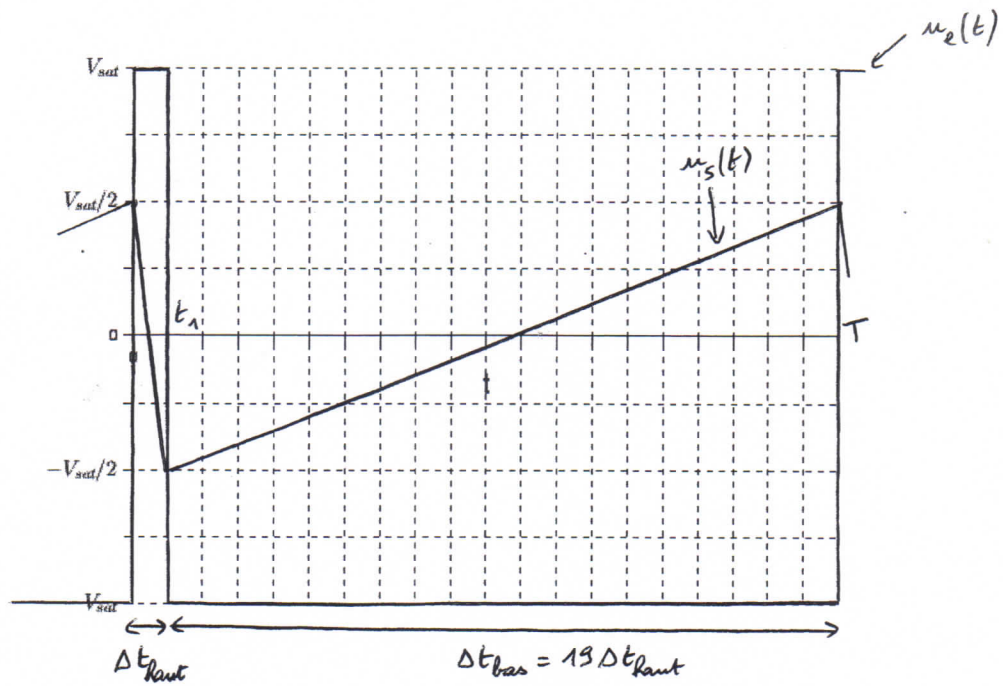


Figure 2 : Chronogramme à compléter : on fera apparaître les grandeurs Δt_{haut} et Δt_{bas} .

DEUXIEME PROBLEME: Oscillateur électronique

1) Régimes transitoires d'un circuit RLC :

1.1) $i \uparrow \Rightarrow q \uparrow \Rightarrow i > 0 \Rightarrow q \uparrow \Rightarrow i = \frac{dq}{dt}$

* convention récepteur $\Rightarrow q = C v$

* $\Rightarrow i = C \frac{dv}{dt}$

1.2.1) loi des mailles $\Rightarrow E = R i + L \frac{di}{dt} + v$

ou $i = C \frac{dv}{dt} \Rightarrow E = RC \dot{v} + LC \ddot{v} + v$

$\Rightarrow \ddot{v} + \frac{R}{L} \dot{v} + \frac{1}{LC} v = \frac{E}{LC}$

$\Rightarrow \ddot{v} + 2m \omega_0 \dot{v} + \omega_0^2 v = \omega_0^2 E$

1.2.2) L'équation caractéristique associée à l'équation différentielle sans second membre est: $r^2 + 2m \omega_0 r + \omega_0^2 = 0$

Le discriminant réduit vaut: $\Delta' = m^2 \omega_0^2 - \omega_0^2 = (m^2 - 1) \omega_0^2$

avec $m = \frac{R}{2L \omega_0} \geq 0$

\Rightarrow 3 cas suivant le signe de Δ'

* $m > 1$: $\Delta' > 0 \Rightarrow r = -m \omega_0 \pm \sqrt{(m^2 - 1) \omega_0^2}$
 $r = \omega_0 \left[-m \pm \sqrt{m^2 - 1} \right] < 0$

les racines sont réelles négatives

$\Rightarrow m > 1 \Rightarrow$ régime aperiodique

* $m < 1$: $\Delta' < 0 \Rightarrow$ les racines sont complexes avec une partie réelle négative

$\Rightarrow m < 1 \Rightarrow$ régime pseudosinusoidal amorti

* $m = 1$: $\Delta' = 0 \Rightarrow$ racine double négative: $r = -\omega_0 < 0$

$m = 1 \Rightarrow$ régime aperiodique critique qui s'apparente au régime aperiodique.

1.2.3) régime critique $\Rightarrow \Delta' = 0 \Rightarrow m = 1 = \frac{R_c}{2L \omega_0}$

$R_c = 2L \omega_0 = 2L \frac{1}{\sqrt{LC}}$

$R_c = 2 \sqrt{\frac{L}{C}}$

1.2.4) $\omega_0 = 5 \cdot 10^3 \text{ rad} \cdot \text{s}^{-1}$

$R_c = 4 \cdot 10^2 \Omega$

$m = 0,3 < 1 \Rightarrow$ régime pseudosinusoidal amorti

* $t = 0^- : q = 0 \Rightarrow t = 0^+ : q = 0$ (continuité Em dans condensateur)

$\Rightarrow v(t=0) = 0$

* $t = 0^- : i = 0 \Rightarrow t = 0^+ : i = 0$ (continuité Em dans bobine)

$\dot{q}(t=0) = 0 \Rightarrow \dot{v}(t=0) = 0$

* $t \rightarrow \infty, v \rightarrow E$

d'où l'allure de $v(t)$:



1.3.1) le générateur a disparu du circuit $\Leftrightarrow E = 0$

$\Rightarrow \ddot{v} + 2m \omega_0 \dot{v} + \omega_0^2 v = 0$

1.3.2) $m = 0,3 < 1 \Rightarrow$ 2 racines complexes pour l'équation caractéristique: a_1 et a_2

$a_1 = -m \omega_0 + i \omega_0 \sqrt{1 - m^2}$

et $a_2 = -m \omega_0 - i \omega_0 \sqrt{1 - m^2}$

1.3.3) Au nouvel instant initial, $q = CE$ et $i = 0$.

En effet, le régime transitoire ayant disparu, le condensateur est chargé (sous la tension E) ce qui a eu pour effet de "couper" le courant (condensateur \Leftrightarrow interrupteur ouvert)

Comme précédemment, q et i sont continues

$\Rightarrow v = E$ et $\dot{v} = 0$ à $t = 0$

$\Rightarrow A_1 + A_2 = E$ et $A_1 a_1 + A_2 a_2 = 0$

$A_1 + A_2 = E$

$(-m \omega_0 + i \omega_0 \sqrt{1 - m^2}) A_1 + (-m \omega_0 - i \omega_0 \sqrt{1 - m^2}) A_2 = 0$

$A_1 + A_2 = E$

$-m E + i \sqrt{1 - m^2} (A_1 - A_2) = 0$

2 équations, 2 inconnues

$\Rightarrow A_1 = \frac{E}{2} \left[1 - \frac{i m}{\sqrt{1 - m^2}} \right]$

et $A_2 = \frac{E}{2} \left[1 + \frac{i m}{\sqrt{1 - m^2}} \right]$

1.3.4) $\tan \theta = \frac{m \omega_0}{\omega} = \frac{m}{\sqrt{1 - m^2}}$

$\Rightarrow v = \frac{E}{2} (1 - i \tan \theta) e^{-m \omega_0 t} e^{i \omega t} + \frac{E}{2} (1 + i \tan \theta) e^{-m \omega_0 t} e^{-i \omega t}$

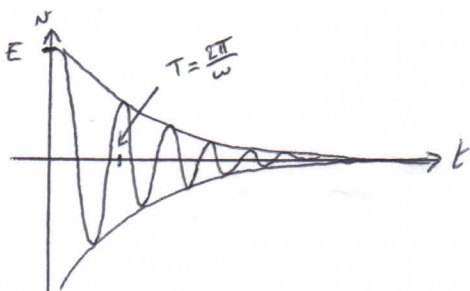
$v = \frac{E}{2} e^{-m \omega_0 t} \frac{1}{\cos \theta} \left[(\cos \theta - i \sin \theta) e^{i \omega t} + (\cos \theta + i \sin \theta) e^{-i \omega t} \right]$

$$v = \frac{E}{\cos \theta} e^{-m\omega_0 t} \frac{1}{2} \left[e^{-i\theta} e^{i\omega t} + e^{i\theta} e^{-i\omega t} \right]$$

$$v = \frac{E}{\cos \theta} e^{-m\omega_0 t} \frac{e^{i(\omega t - \theta)} + e^{-i(\omega t - \theta)}}{2}$$

$$v = \frac{E}{\cos \theta} e^{-m\omega_0 t} \cos(\omega t - \theta)$$

$$\Rightarrow K = \frac{E}{\cos \theta}$$



1-3-5) Intéressons nous aux transferts d'énergie entre $t=0$ et $t \rightarrow \infty$:

* condensateur: $\Delta W_c = W_c(\infty) - W_c(t=0) = 0 - \frac{1}{2} CE^2$

$$\Delta W_c = -\frac{1}{2} CE^2$$

* bobine: $\Delta W_L = W_L(\infty) - W_L(t=0) = 0 - 0 = 0 = \Delta W_L$
(courant nul à $t=0$ et $t \rightarrow \infty$) ($W_L = \frac{1}{2} Li^2$)

* résistance: $W_{\text{Joule}} = \int_0^{\infty} R i^2 dt$

or $i = C \frac{dv}{dt} = KC \left[-m\omega_0 \cos(\omega t - \theta) - \omega \sin(\omega t - \theta) \right] e^{-m\omega_0 t}$

$$i = -KC e^{-m\omega_0 t} \left[m\omega_0 (\cos \omega t \cos \theta + \sin \omega t \sin \theta) + \omega (\sin \omega t \cos \theta - \cos \omega t \sin \theta) \right]$$

or $m\omega_0 = \omega \tan \theta$

$$\Rightarrow i = -KC\omega e^{-m\omega_0 t} \left(\cos \omega t \sin \theta + \sin \omega t \frac{\sin \theta}{\cos \theta} + \sin \omega t \cos \theta - \cos \omega t \sin \theta \right)$$

$$i = -\frac{KC\omega}{\cos \theta} e^{-m\omega_0 t} \sin \omega t$$

$$W_{\text{Joule}} = \frac{RK^2C^2\omega^2}{\cos^2 \theta} \int_0^{\infty} e^{-2m\omega_0 t} \sin^2 \omega t dt$$

$$= \frac{RK^2C^2\omega^2}{\cos^2 \theta} \int_0^{\infty} e^{-2m\omega_0 t} \left(\frac{e^{i\omega t} - e^{-i\omega t}}{2i} \right)^2 dt$$

$$= -\frac{RK^2C^2\omega^2}{4\cos^2 \theta} \int_0^{\infty} \left(e^{(-2m\omega_0 + 2i\omega)t} + e^{(-2m\omega_0 - 2i\omega)t} - 2e^{-2m\omega_0 t} \right) dt$$

$$= -\frac{RK^2C^2\omega^2}{4\cos^2 \theta} \left[\frac{1}{-2m\omega_0 + 2i\omega} [-1] + \frac{1}{-2m\omega_0 - 2i\omega} [-1] + \frac{1}{m\omega_0} [-1] \right]$$

$$= \frac{RK^2C^2\omega^2}{4\cos^2 \theta} \left(\frac{1}{-2m\omega_0 + 2i\omega} + \frac{1}{-2m\omega_0 - 2i\omega} + \frac{1}{m\omega_0} \right)$$

$$W_{\text{Joule}} = \frac{RK^2C^2\omega^2}{4\cos^2 \theta} \frac{(-2m\omega_0 - 2i\omega)m\omega_0 + (-2m\omega_0 + 2i\omega)m\omega_0 + (-2m\omega_0 - 2i\omega)(-2m\omega_0 + 2i\omega)m\omega_0}{(-2m\omega_0 - 2i\omega)(-2m\omega_0 + 2i\omega)m\omega_0}$$

$$W_{\text{Joule}} = \frac{RK^2C^2\omega^2}{4\cos^2 \theta} \frac{4\omega^2}{m\omega_0 (4m^2\omega_0^2 + 4\omega^2)}$$

$4\omega_0^2$ car $\omega = \omega_0 \sqrt{1-m^2}$

$$W_{\text{Joule}} = \frac{RK^2C^2\omega^4}{4\cos^2 \theta m\omega_0^3} = \frac{(2L\omega_0 m) \frac{E^2}{\cos^2 \theta} C^2 \omega^4}{4\cos^2 \theta m\omega_0^3}$$

$$= \frac{LE^2C^2\omega^4}{2\cos^4 \theta \omega_0^2} \quad \text{or } LC = \frac{1}{\omega_0^2}$$

$$W_{\text{Joule}} = \frac{1}{2} CE^2 \left(\frac{\omega}{\omega_0 \cos \theta} \right)^4 \quad \text{or } \tan \theta = \frac{\sin \theta}{\cos \theta} = \frac{m\omega_0}{\omega}$$

$$= \frac{1}{2} CE^2 \left(\frac{m}{\sin \theta} \right)^4 \quad \text{or } \tan \theta = \frac{\sin \theta}{\cos \theta} = \frac{m}{\sqrt{1-m^2}}$$

$$\Rightarrow m = \sin \theta$$

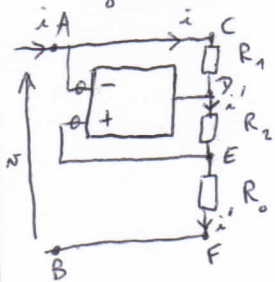
$$\Rightarrow W_{\text{Joule}} = \frac{1}{2} CE^2$$

$\Rightarrow W_{\text{Joule}} + \Delta W_c = 0 \Rightarrow$ l'énergie qui était emmagasinée dans le condensateur a été dissipée dans la résistance par effet Joule.
 \Rightarrow OK !!

2) Oscillateur LC:

2-1-1) AO parfait $\Rightarrow i_+ = i_- = 0$

régime linéaire $\Rightarrow v_+ = v_-$ (car AII supposé de gain infini)



$$v_c = v_A = v_- \quad v_c = v_E$$

$$v_E = v_+$$

$$\Rightarrow v_D - v_c = v_D - v_E$$

$$\Rightarrow -R_1 i = R_2 i'$$

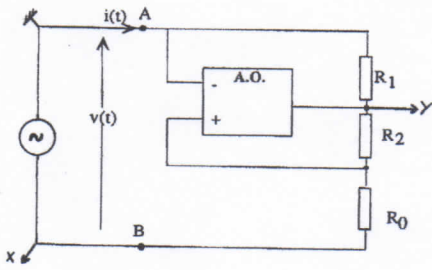
$$v = v_A - v_B = v_- - v_F = v_+ - v_F = v_E - v_F = R_0 i'$$

$$\text{or } i' = -\frac{R_1}{R_2} i \quad \Rightarrow \quad v = -\frac{R_0 R_1}{R_2} i$$

$$\Rightarrow R = \frac{R_0 R_1}{R_2} = 100 \Omega \quad (\text{montage à résistance négative: cf TFP})$$

2-1-2) Afin de tracer la caractéristique $i = f(v)$ de ce montage, on doit mesurer sur la voie Y une tension proportionnelle au courant, on prend donc la tension aux bornes de R_1 .

\Rightarrow cf circuit ci-après: $Y = -R_1 i$
et $X = -v$

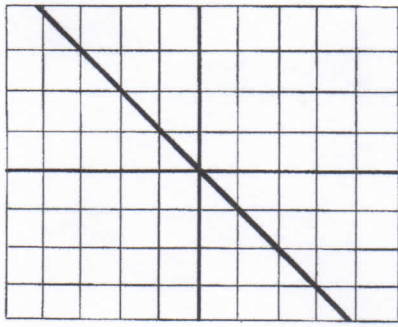


En mode XY, on a donc $-R_1 i$ en fonction de $-v$

c'est-à-dire $R_1 i = f(v)$

\uparrow
 1000Ω or $v = -R i$ avec $R = 1000 \Omega$

⇒ facteur 10 d'où le facteur 10 dans le choix des calibres.



⇒ pente
 $= -1$

Rq: cf TP: utiliser un oscillo différentiel si le GBF n'est pas à masse flottante.

2-2) Le circuit RLC est celui du premier paragraphe avec $R = 100 \Omega$.

loi des mailles: $R i + L \frac{di}{dt} + \frac{q}{C} - R i = 0$ ← mêmes valeurs!

or $i = + \frac{dq}{dt} \Rightarrow L \ddot{q} + \frac{q}{C} = 0 \Rightarrow \ddot{q} + \omega_0^2 q = 0$

⇒ solution sinusoïdale de pulsation $\omega_0 = \frac{1}{\sqrt{LC}}$

⇒ $q = A \cos(\omega_0 t + \varphi)$

⇒ oscillations sinusoïdales ds le circuit

L'énergie dissipée par la résistance R provient des alimentations $+15V / -15V$ de l'AO.

Rq: c'est l'oscillateur quasi-sinusoïdal à résistance négative ⇒ cf TP

TROISIEME PROBLEME : Filtrage

(A) a) thm de Millman en A

$$\Rightarrow \underline{V}_A = \frac{\frac{N_e}{R_1} + jC_1 \omega N_s + \frac{V_+}{R_2}}{\frac{1}{R_1} + \frac{1}{R_2} + jC_1 \omega}$$

De plus, il y a une boucle de rétroaction entre l'entrée inverseuse et la sortie de l'AO \Rightarrow régime linéaire ou ALI de gain infini $\Rightarrow V_+ = V_-$

or $V_- = N_s \Rightarrow V_+ = N_s$

$$\Rightarrow \underline{V}_A = \frac{\frac{N_e}{R_1} + N_s \left(\frac{1}{R_2} + jC_1 \omega \right)}{\frac{1}{R_1} + \frac{1}{R_2} + jC_1 \omega}$$

b) AO idéal $\Rightarrow i_+ = 0$

\Rightarrow diviseur de tension : $\underline{V}_+ = \frac{\frac{1}{jC_2 \omega}}{R_2 + \frac{1}{jC_2 \omega}} \underline{V}_A$

or $\underline{V}_+ = N_s \Rightarrow \underline{V}_A = jC_2 \omega \left(R_2 + \frac{1}{jC_2 \omega} \right) N_s$

$$\Rightarrow \underline{V}_A = \left(1 + jR_2 C_2 \omega \right) N_s$$

c) on égalise les deux expressions précédentes de \underline{V}_A .

$$\Rightarrow \underline{N_e} + N_s \left(\frac{R_1}{R_2} + jR_1 C_1 \omega \right) = \left(1 + \frac{R_1}{R_2} + jR_1 C_1 \omega \right) \left(1 + jR_2 C_2 \omega \right) N_s$$

$$\Rightarrow \underline{N_e} = N_s \left[1 + \frac{R_1}{R_2} + jR_1 C_1 \omega + jR_2 C_2 \omega + jR_1 C_2 \omega - R_1 R_2 C_1 C_2 \omega^2 - \frac{R_1}{R_2} - jR_1 C_1 \omega \right]$$

$$\underline{H} = \frac{N_s}{N_e} = \frac{1}{1 - R_1 R_2 C_1 C_2 \omega^2 + j \left(R_2 C_2 \omega + R_1 C_2 \omega \right)}$$

$$= \frac{1}{1 - \frac{\omega^2}{\omega_c^2} + j \alpha \frac{\omega}{\omega_c}}$$

avec $\omega_c = \frac{1}{R_2 C_2}$; $\alpha = 1 + \frac{R_1}{R_2}$; $\omega_c = \frac{1}{\sqrt{R_1 R_2 C_1 C_2}}$

$$\alpha = 1 + \frac{R_1}{R_2} ; \omega_c = \sqrt{\omega_1 \omega_2}$$

d) $\underline{H} = \frac{N_s}{N_e} = \frac{1}{1 - \frac{\omega^2}{\omega_c^2} + j \alpha \frac{\omega}{\omega_c}}$

$$\Rightarrow \frac{1}{\omega_c^2} (j\omega)^2 N_s + \frac{\alpha}{\omega_c} (j\omega) N_s + N_s = N_e$$

or une multiplication par $(j\omega)$ correspond à une dérivation par rapport au temps dans l'équation différentielle.

$$\Rightarrow \frac{1}{\omega_c^2} \frac{d^2 N_s}{dt^2} + \frac{\alpha}{\omega_c} \frac{dN_s}{dt} + N_s = N_e$$

Le système est stable si les 3 coefficients de l'équation caractéristique sont de même signe.

Ici $\frac{1}{\omega_c^2} > 0$ et $1 > 0$

\Rightarrow il faut $\frac{\alpha}{\omega_c} > 0 \Rightarrow \alpha > 0$

or $\alpha = 1 + \frac{R_1}{R_2} > 0 \Rightarrow$ toujours stable

(B) $\underline{H} = \frac{1}{1 - \frac{\omega^2}{\omega_c^2} + 2j \frac{\omega}{\omega_c}}$

a) $\omega \rightarrow 0, \underline{H} \rightarrow 1, \begin{cases} G \rightarrow 0 \\ \varphi \rightarrow 0 \end{cases}$

b) $\omega \rightarrow \infty, \underline{H} \rightarrow -\frac{\omega_c^2}{\omega^2}$

$G \rightarrow 40 \log \omega_c - 40 \log \omega$ pente -40 dB/décade

$\varphi \rightarrow \pm \pi ?$

or pour $\omega = \omega_c, \underline{H} = \frac{1}{2j}, \varphi = -\frac{\pi}{2}$

$\Rightarrow \omega \rightarrow \infty, \varphi \rightarrow -\pi$

c) on a un filtre passe-bas du 2^{ème} ordre.

d) $0 = 40 \log \omega_c - 40 \log \omega \Rightarrow \omega = \omega_c$
intersection des asymptotes pour $\omega = \omega_c$

e) $G = 20 \log \frac{1}{\sqrt{\left(1 - \frac{\omega^2}{\omega_c^2}\right)^2 + 4 \frac{\omega^2}{\omega_c^2}}}$

et $-\pi < \varphi < 0$ et $\tan \varphi = \frac{-2 \frac{\omega}{\omega_c}}{1 - \frac{\omega^2}{\omega_c^2}}$

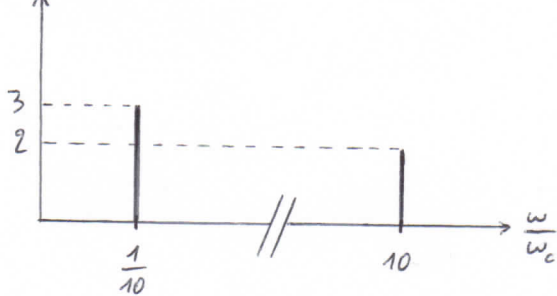
ω	$\frac{\omega_c}{10}$	ω_c	$10\omega_c$
G (dB)	-0,0864	-6,02	-40,1
φ (rad)	-0,199	$-\frac{\pi}{2} = -1,57$	-2,94

f) cf feuille semi-log

$$g) v_e = 3 \cos\left(\frac{\omega_c}{10} t\right) + 2 \sin(10\omega_c t)$$

$$= 3 \cos\left(\frac{\omega_c}{10} t\right) + 2 \cos\left(10\omega_c t - \frac{\pi}{2}\right)$$

spectre de v_e



Pour $\omega = \frac{\omega_c}{10}$, $|H| = 0,930 \approx 1$

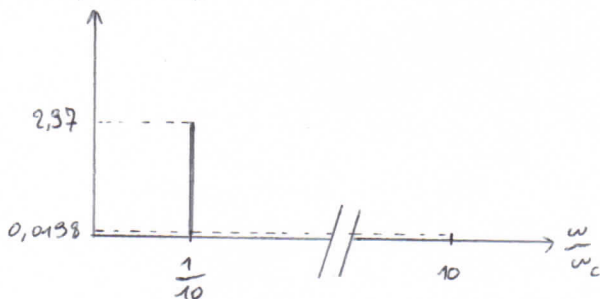
Pour $\omega = 10\omega_c$, $|H| = 9,30 \cdot 10^{-3} \ll 1$

Donc dans le spectre de v_s , on aura une raie d'amplitude

* $0,930 \times 3 = 2,97 \text{ V}$ pour $\omega = \frac{\omega_c}{10}$

* $9,30 \cdot 10^{-3} \times 2 = 0,0198 \text{ V}$ pour $\omega = 10\omega_c$

spectre de v_s



Il n'y a donc quasiment qu'une seule raie ($0,0198 \ll 2,97$)

$$\Rightarrow v_s \approx v_{s,\max} \cos(\omega' t + \varphi')$$

avec

$v_{s,\max} = 2,97 \text{ V}$
$\omega' = \frac{\omega_c}{10}$
$\varphi' = \varphi\left(\frac{\omega_c}{10}\right) = -0,199 \text{ rad}$

TROISIEME PROBLEME : Filtrage

Document réponse à rendre avec la copie

